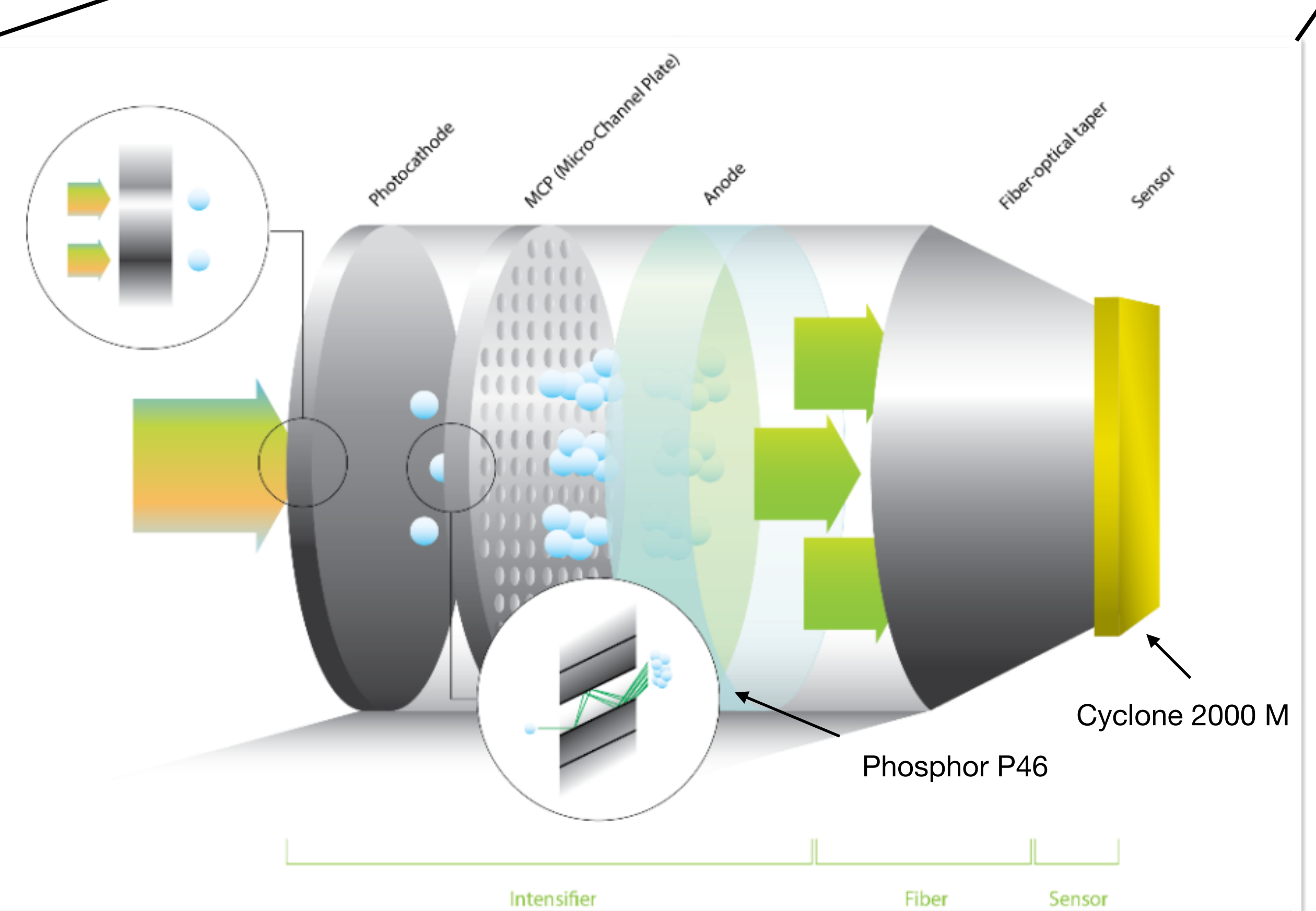
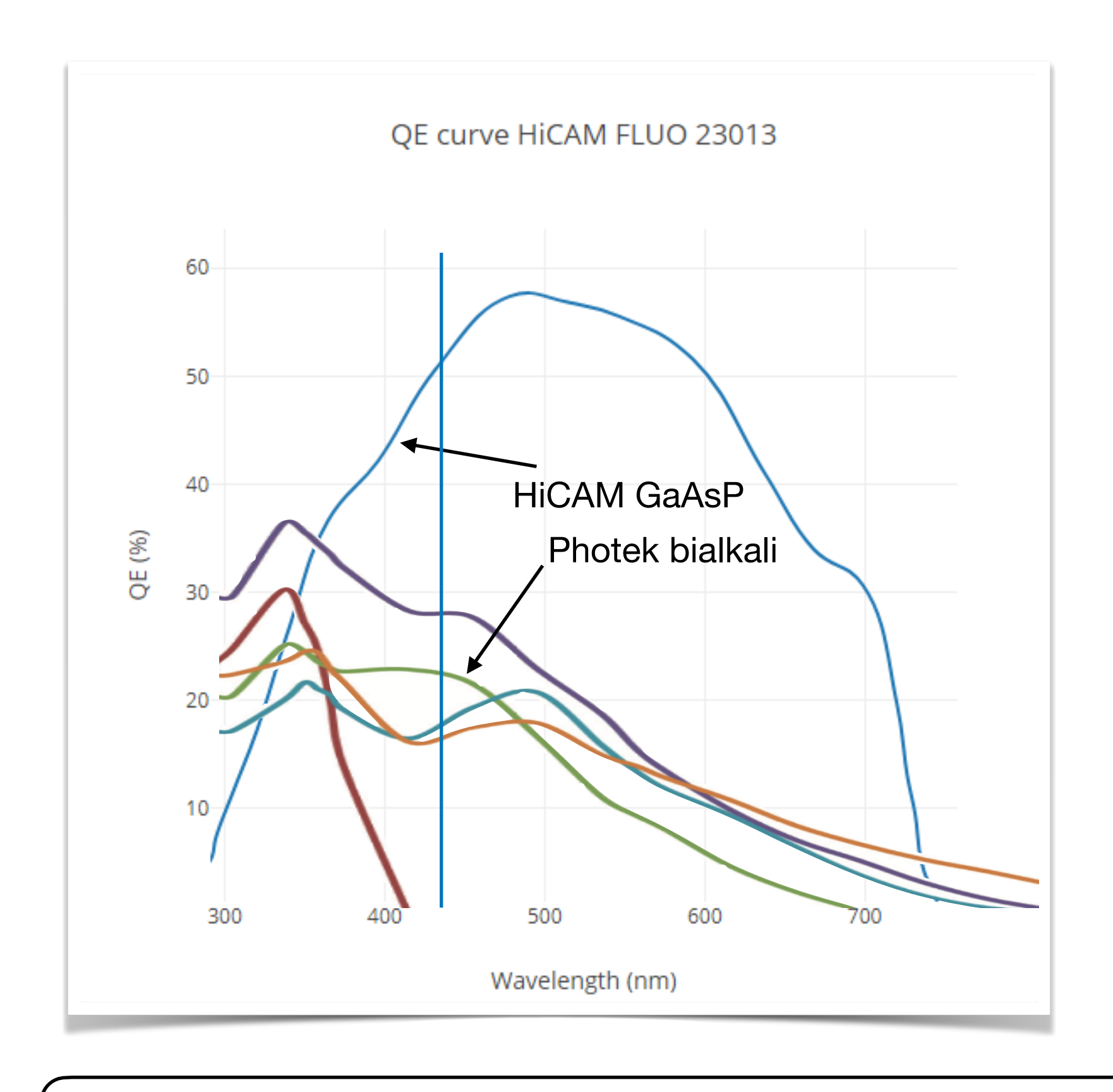
HiCAM Fluo - Prestito



HiCAM FLUO







Expected Background Illumination (EBI):

 $0.10 \times 10^{-11} \text{ Im/cm}^2 \text{ (Hicam)}$

 2×10^{-11} Im/cm² (Photek bialkali)

Sorgenti	Scintillatori	Ottica	Camera
Muoni cosmici	PVT (BC-408) 40x40x40 mm ³		
Am241 (α)	$\lambda \sim 450 \text{ nm}$		
Sr90 (β)	$\begin{array}{c} \text{Csl(Tl)} \\ \text{20x20x20 mm}^3 \\ \lambda \sim 550 \text{ nm} \end{array}$	p = 110 mm $q = 41 mm$	LAMBERT HICAM FLUO
Cs137 (γ)		f = 60 mm $f = 75 mm$	
	$\begin{array}{c} \text{CsI(TI)} \\ \text{20x20x20 mm}^3 \\ \lambda \sim 550 \text{ nm} \end{array}$		

Misure

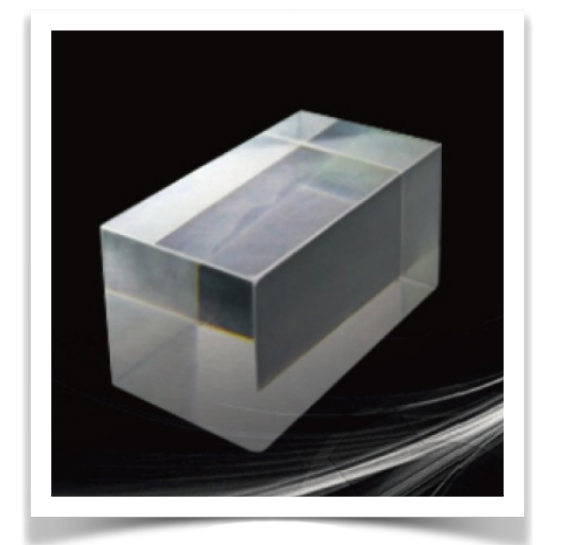
9	10	Incontro con Hertz della Lambert	Prime misure senza ottica cosmici e sorgenti (PVT)	Prime misure senza ottica cosmici e sorgenti (PVT)
Prime misure con ottica cosmici e sorgenti (PVT)	Prime misure con ottica cosmici e sorgenti (PVT)	Prime misure con ottica cosmici e sorgenti (PVT + CsI + GAGG)	Misure con ottica cosmici e sorgenti (PVT + CsI + GAGG)	Misure con ottica + specchio cosmici (PVT + CsI + GAGG)
Misure con ottica + specchio cosmici e sorgenti (Csl + GAGG)	Misure con ottica + specchio cosmici e (CsI)	25	26	27

Risultati preliminari

PVT

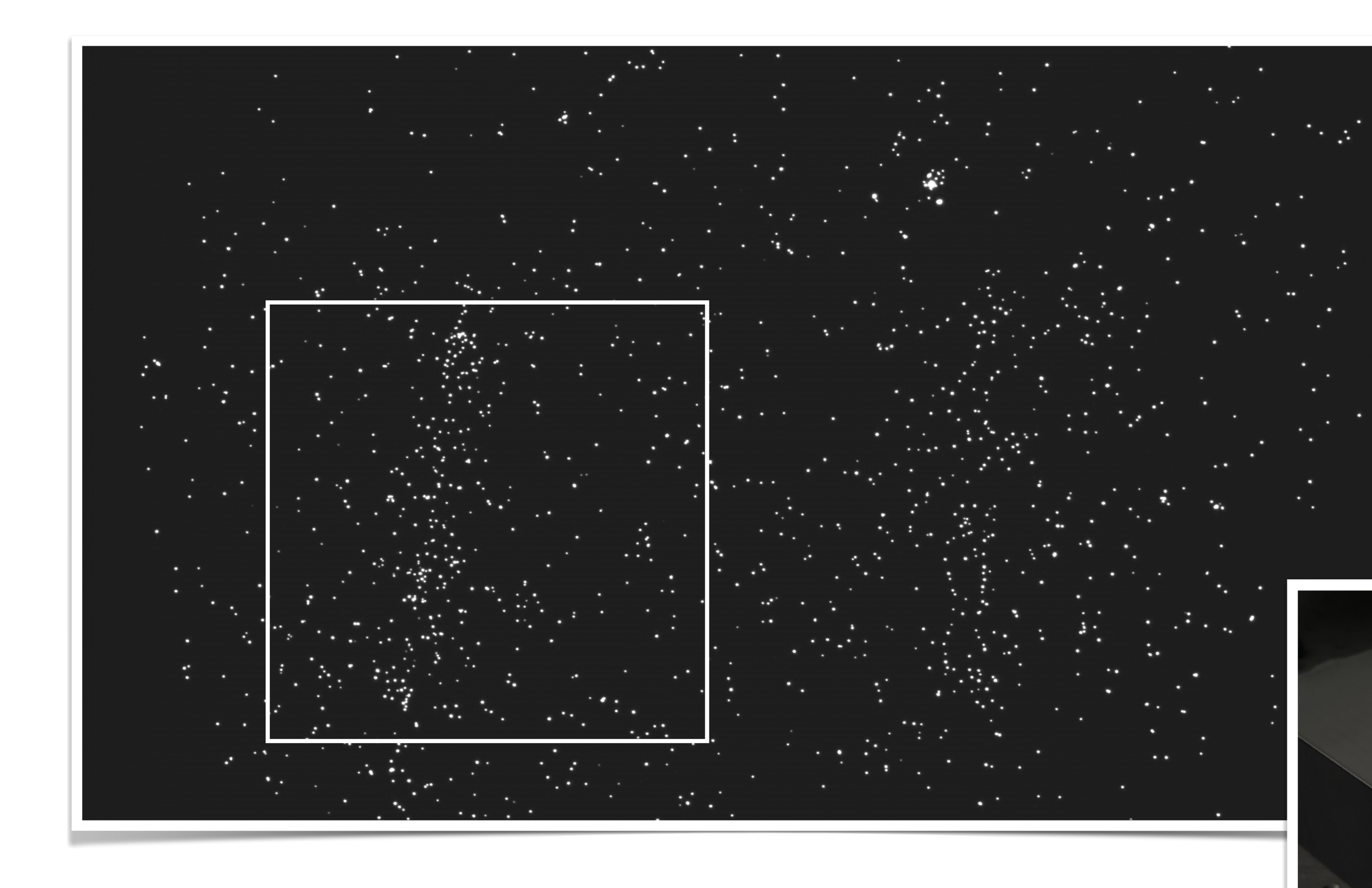


CsI(TI)



GAGG



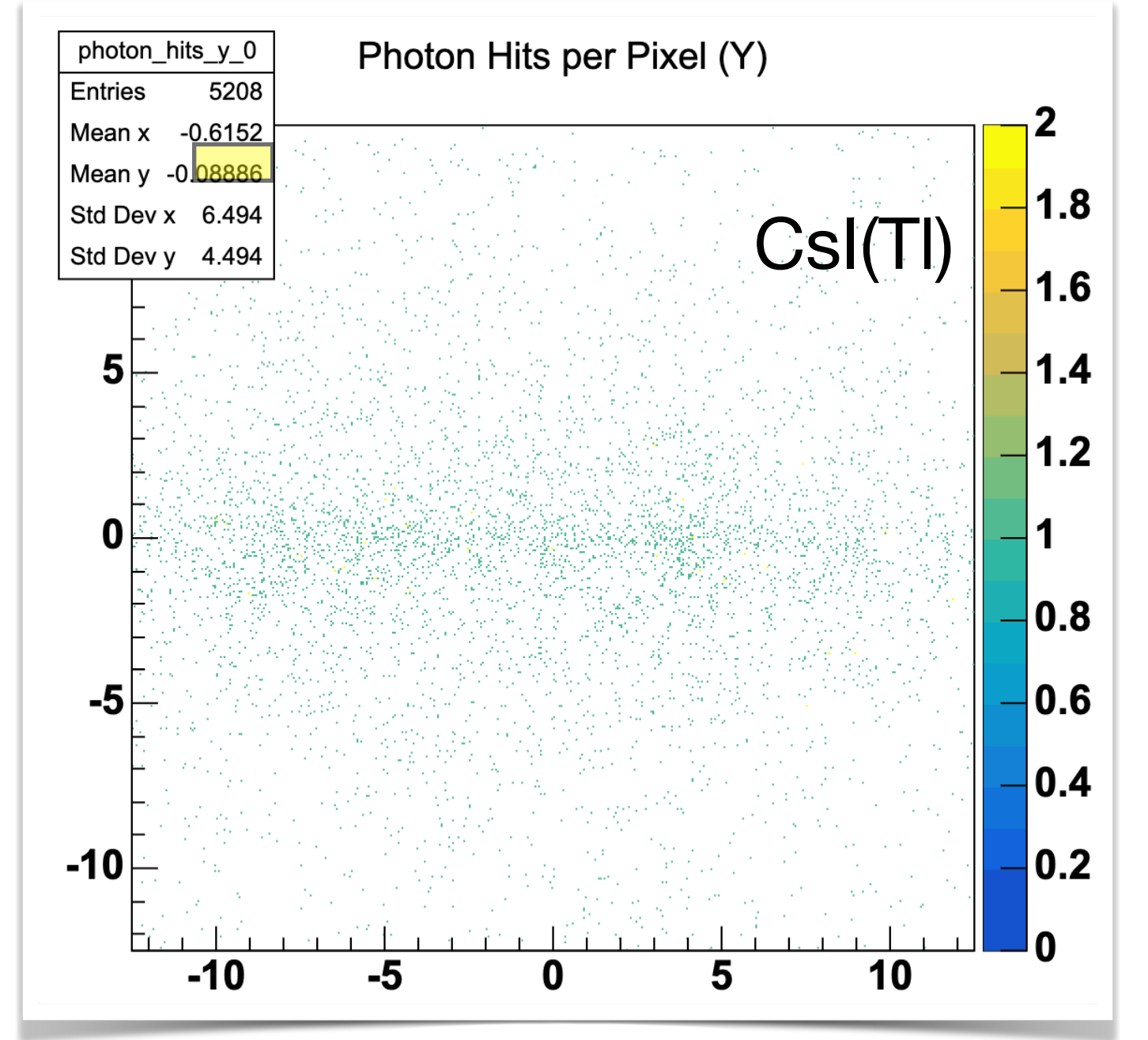


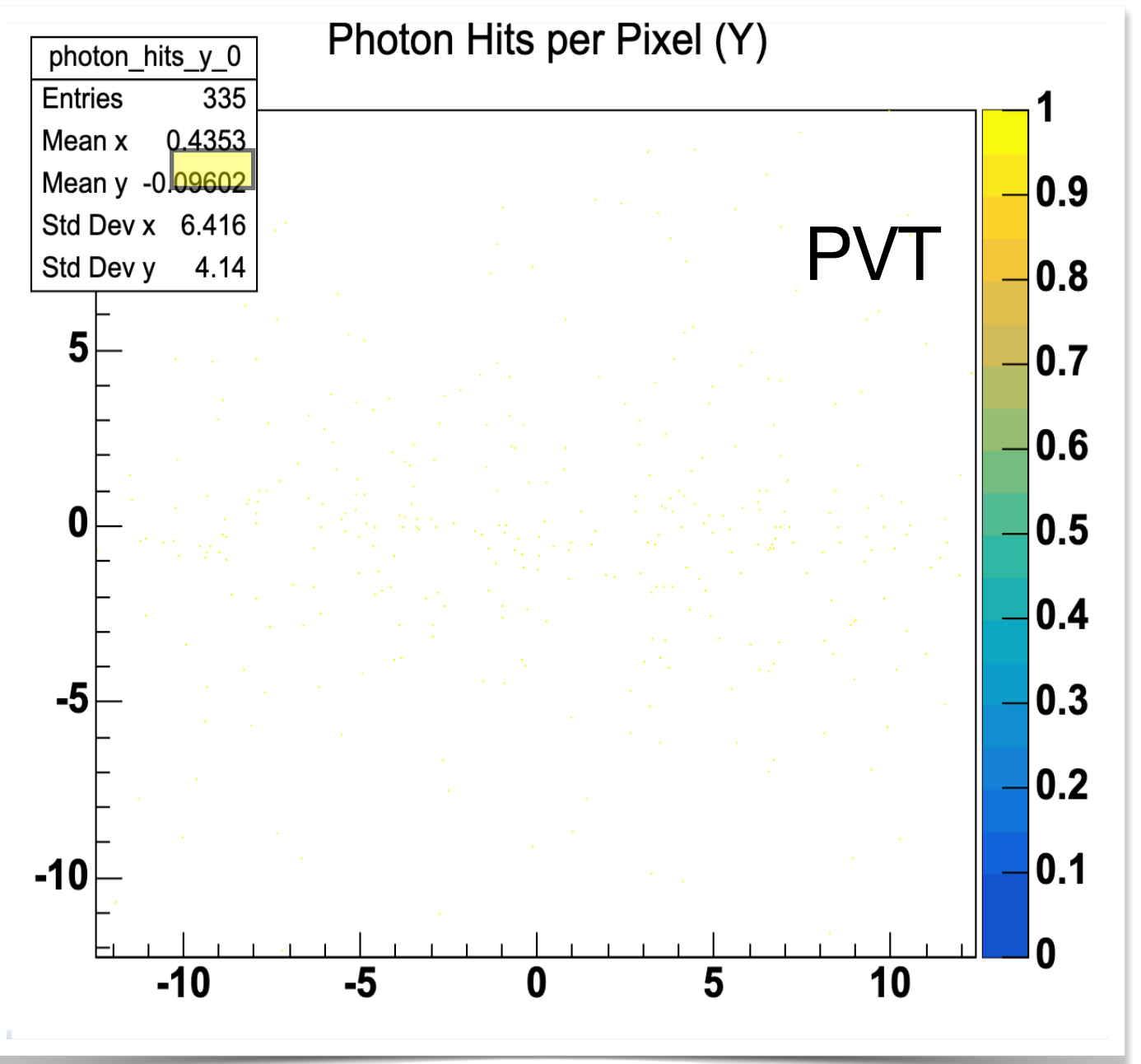
Specchio

Cubo

Le tracce sono state viste solo con CsI(TI) e GAGG

Muoni cosmici





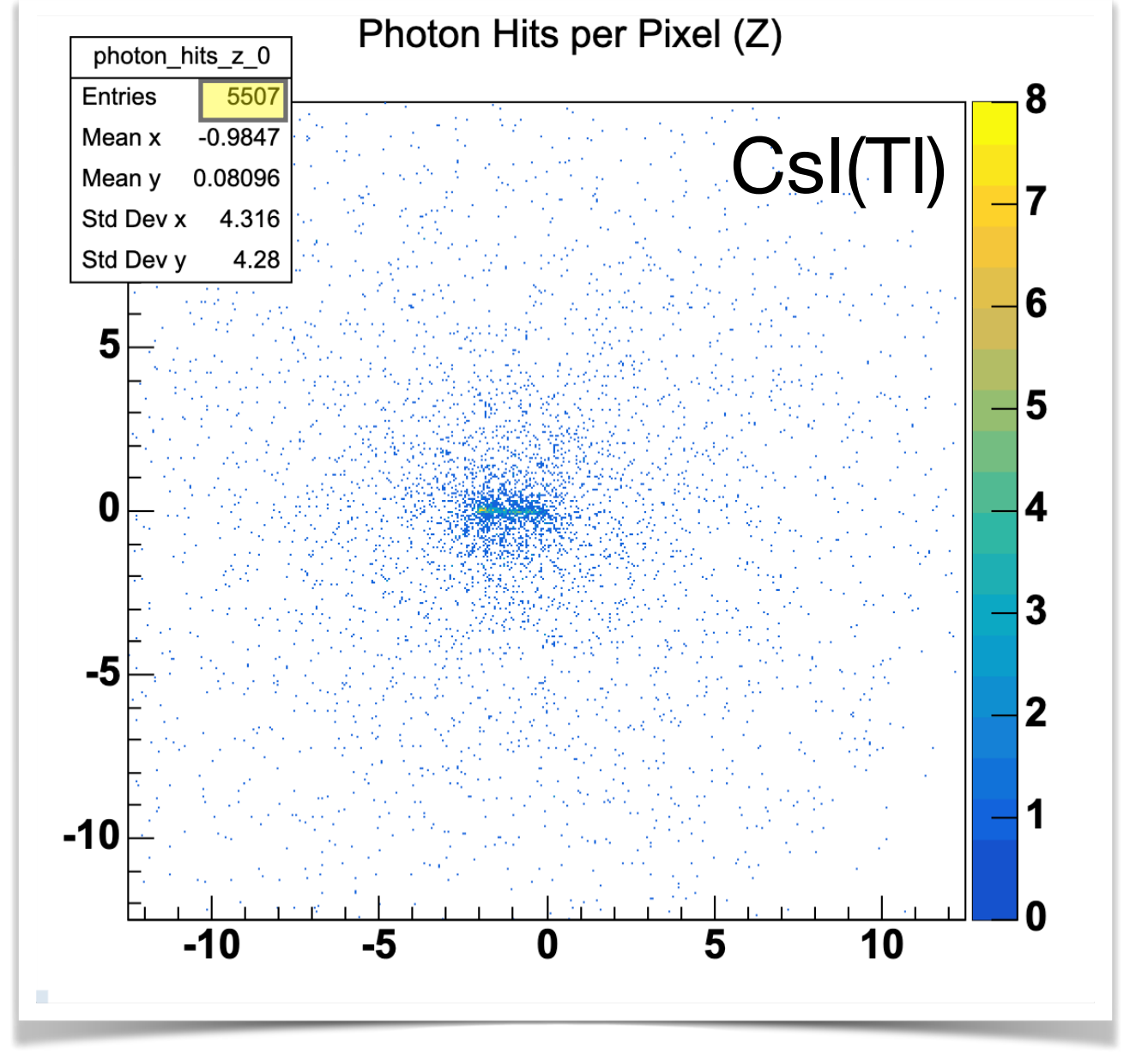
Simulazioni Geant4

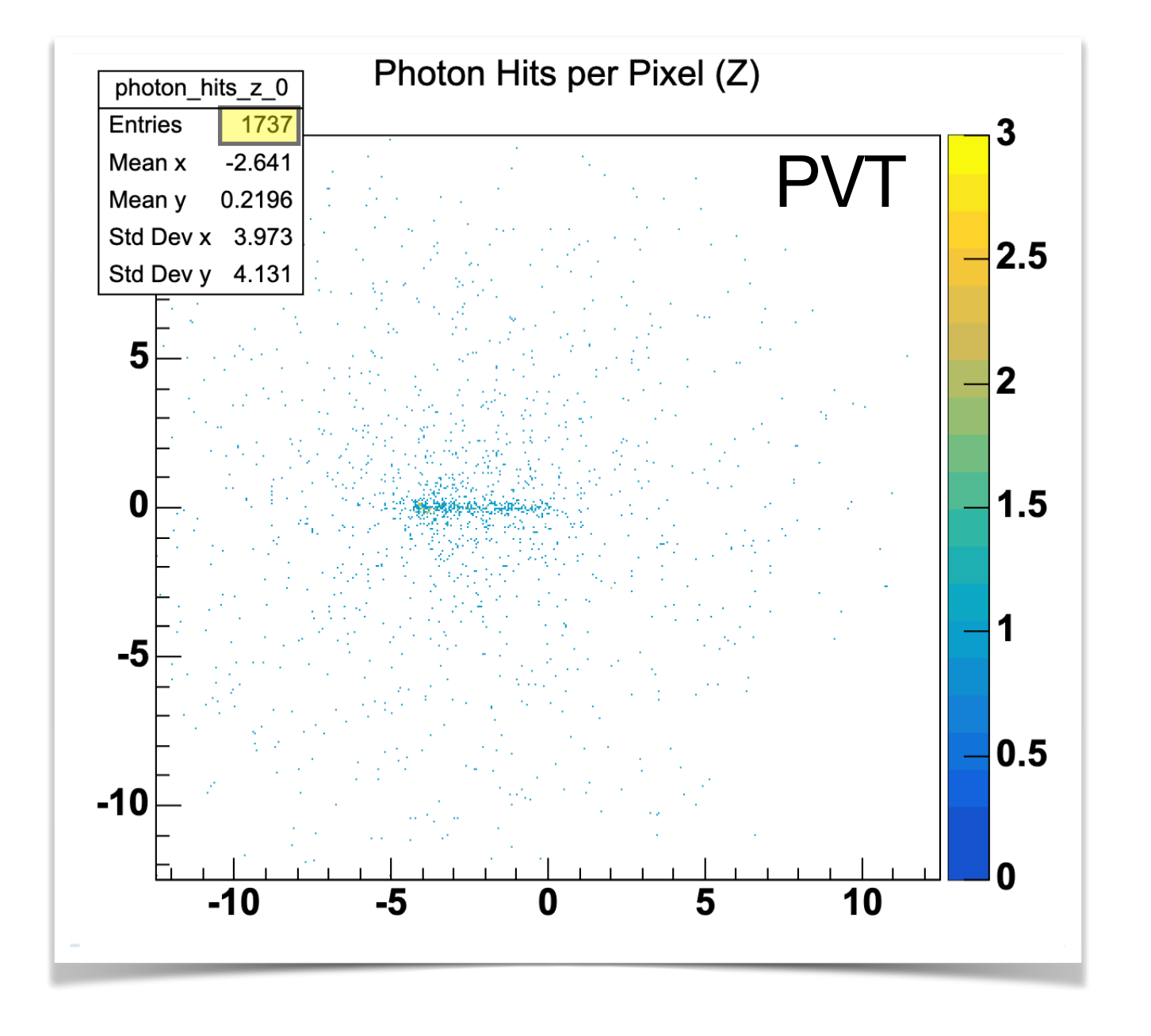
Per il PVT abbiamo un fattore ~15 di fotoni in meno

Protone a 30 MeV

Per il PVT abbiamo un fattore ~5 di fotoni in meno

Il protone nel PVT è 2 volte più visibile del muone nel CsI(TI) perché concentra più fotoni in meno pixel.





Conclusioni

- Le misure preliminari hanno mostrato che le tracce sono chiaramente osservabili solo utilizzando scintillatori ad alta efficienza luminosa come CsI(TI) e GAGG
- L'utilizzo dell'ottica, in combinazione con uno specchio, ha permesso l'acquisizione di due proiezioni delle tracce
- Il PVT presenta una resa luminosa significativamente inferiore (fino a 15 volte meno fotoni rispetto al CsI nel caso dei muoni), rendendo difficile l'osservazione delle tracce
- Le simulazioni Geant4 hanno confermato che un protone a 30 MeV nel PVT può risultare più visibile di un muone cosmico nel CsI(TI) grazie alla maggiore concentrazione di fotoni in meno pixel

Discussione

- L'MCP dentro la HiCAM ci fa osservare i muoni negli scintillatori CsI e GAGG. L'MCP che stiamo andando ad acquistare dalla Photek ha una QE che è la metà e caratteristiche diverse da quello
- Analisi possibili: Ricostruzione della distribuzione angolare dei muoni; trovare una condizione di trigger; differenze tra i dati da sorgenti/cosmici/background
- Simulazione del setup costruito in laboratorio

